

TRƯỜNG ĐẠI HỌC KHOA HỌC TỰ NHIÊN TP.HCM
KHOA VẬT LÝ
Bộ Môn Vật Lý Ngã Đ

www.mientayvn.com

BÀI BÁO CÁO

Quang phổ Raman



HVTH: Nguyễn Thanh Tú

Tp.HCM
Tháng 3/2010

Chương 2: Thiết bị và kỹ thuật thực hành

2.1 Nguyên lý và cấu tạo quang phổ Raman

Quang phổ Raman gồm 5 bộ phận chính:

- Nguồn kích thích phổ Raman, thường là Laser liên tục (CW).
- Hệ thống chiụ mẫu và hệ thống thu nhận các ánh sáng tán xạ.
- Bộ phận ghi mẫu.
- Máy tính hoặc máy quang phổ.
- Hệ thống bao gồm detector, máy khuếch đại và thiết bị hiển thị tín hiệu.

Hình 1 minh họa sơ đồ lắp đặt hình ảnh các thành phần trên. Hình này mô tả cấu trúc quang phổ Raman được thiết kế theo mô hình này.

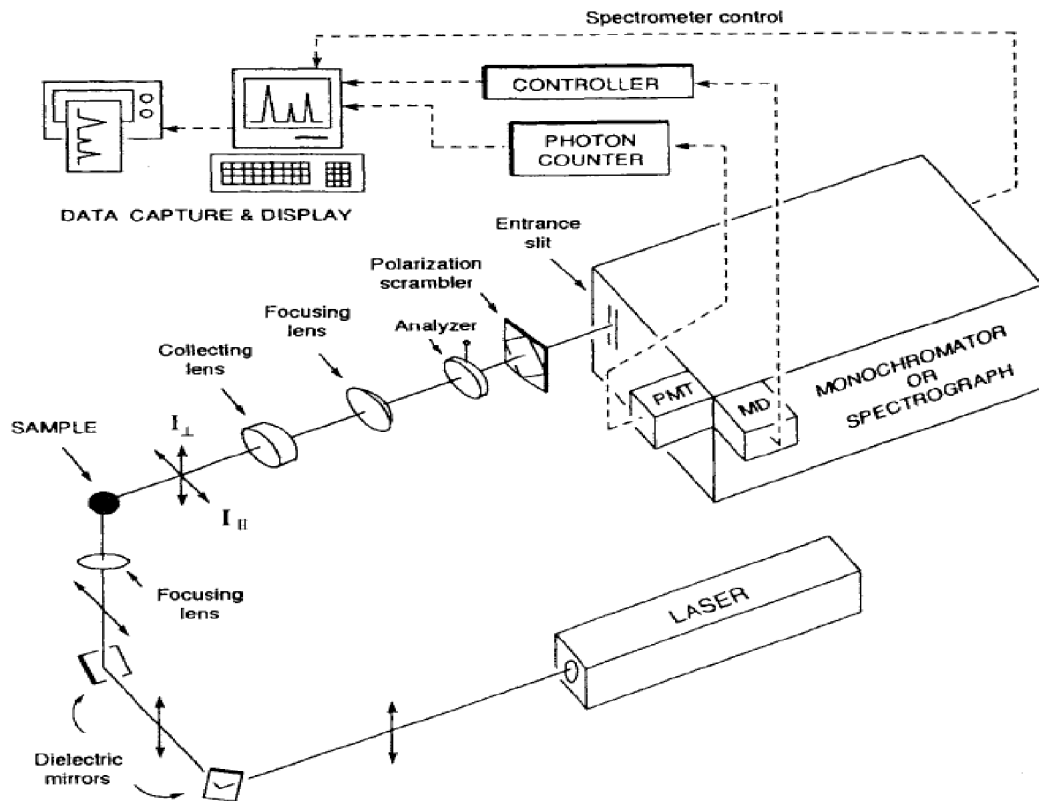


Figure 2-1 Schematic diagram of the major components in a Raman Spectrometer. (Reproduced with permission from Ref. 1.)

Hình 1: Sơ đồ lắp đặt hình ảnh các thành phần trên.

Trong những năm gần đây người ta lắp thêm máy vi tính để xử lý số liệu và đưa vào sử dụng các nguồn laser kích thích vùng tử ngoại (UV) và cận hồng ngoại (NIR).

2.2 Các nguồn kích thích

Các loại laser liên tục (CW) chủ yếu như sau:

- Ar⁺ (351,1- 514,5nm)
- Kr⁺ (337,4- 676,4nm)
- He-Ne (632,8nm)

thường sử dụng trong phổ Raman

Hiện nay các laser xung chủ yếu như Nd:YAG, diode, và laser excimer đã sử dụng cho phổ Raman công nghệ UV và phổ Raman phân giải theo thời gian

* Nguyên nhân của chùm laser

Laser là nguồn kích thích lý tưởng cho phổ Raman chủ yếu do các đặc tính sau:

- Công suất lớn, các vạch phổ của laser CW có thể đạt hàng tấn công suất 1-2W còn laser xung có thể cung cấp dòng điện cao tới lên đến 10-100W
 - Chùm laser có độ phân giải cao. (ví dụ: đường kính của laser Ar⁺ là 0,1cm⁻¹)
 - Chùm tia laser thì có bán kính nhỏ (1-2mm) và có thể giảm xuống còn 0,1mm bằng cách sử dụng thấu kính hội tụ. Do đó, toàn bộ thông lượng bức xạ của nguồn kích thích có thể hội tụ lên một kích thước nhỏ, rất thu nhỏ trong việc nghiên cứu các chất lỏng có thể tích rất bé (cỡ μl) và các tinh thể (cỡ 1mm³)
- Trong quang phổ micro-Raman ngày nay có thể nghiên cứu các mẫu nhỏ có bán kính cỡ 2 μm
- Chùm tia laser thì hầu như là phân cực hoàn toàn, do đó nó rất lý tưởng cho việc phân cực
 - Có thể tạo ra các chùm laser có bước sóng thay đổi bằng cách sử dụng laser màu và các thiết bị khác

2.1 Laser khí sóng liên tục

* Cấu tạo: gồm các bộ phận chính

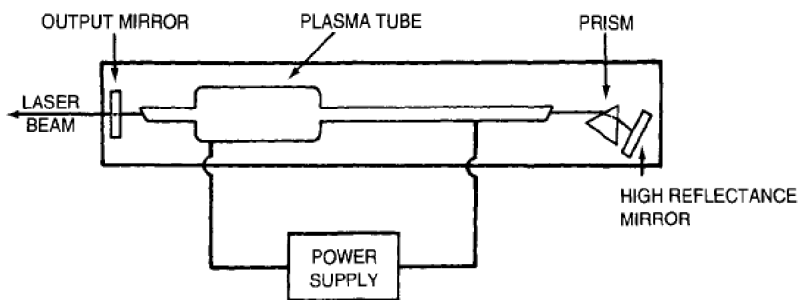


Figure 2-2 Schematic of a typical gas CW laser.

- Môi trường hoạt tính: là chất khí ví dụ như khí Ar, Kr... được chứa trong ống plasma
- Bộ cung cấp năng lượng: gồm 2 bộ phận chính, một bộ phận có hình xoắn ốc để cung cấp năng lượng cho chùm tia laser thoát ra ngoài
- Bộ phận kích thích hay nguồn bơm: có vai trò cung cấp năng lượng để tạo ra môi trường hoạt tính. Trong laser khí thì việc cung cấp năng lượng được thực hiện thông qua quá trình va chạm
- Hai cửa sổ Brewster nghiêng một góc xác định nhằm để giảm thiểu tổn thất do phản xạ trong ống là chỉ số khúc xạ của vật liệu làm cửa sổ. Việc thiết kế này giúp giảm thiểu tổn thất năng lượng do phản xạ.

vùng kh ki n thì $=55,6^0$. góc Brewster chùm ra c a laser h u nh
phân c c hoàn toàn theo m t ph ã ng c ã nh

*** Hoạt ã ng**

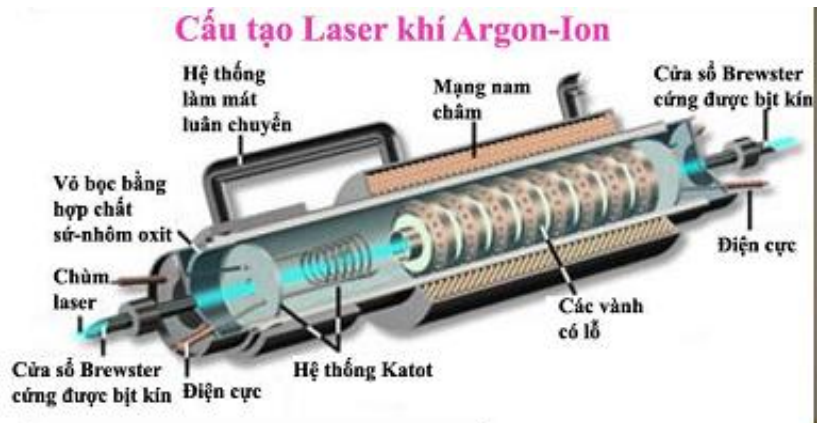
Cho dòng ã i n r t cao phóng qua khí Ar và Kr ch a trong ã ng plasma. S
phóng ã i n này s ã làm ion hóa ch t khí và làm t ã ng m t ã tr ã ng thái kích thích
phát laser

Các photon phát x ã b ph ã n x ã b ã hai g ã ng c a bu ã ng c ã ng h ã ng và t ã ng
tác v ã i các ion ã ã c kích thích, s ã phát x ã do kích thích t ã o ra nh ã ng photon có
n ã ng l ã ng b ã ng nhau, có pha và ph ã ng dao ã ng nh ã nhau, quá trình t ã p ã i n cho
n ã khi t ã c s ã cân b ã ng ã ã kích thích và phát x ã , c ã hai g ã ng c ã m
ph ã n x ã ánh sáng có b ã c sóng mong mu ã n và cho truy ã n qua nh ã ng ánh sáng có
b ã c sóng khác

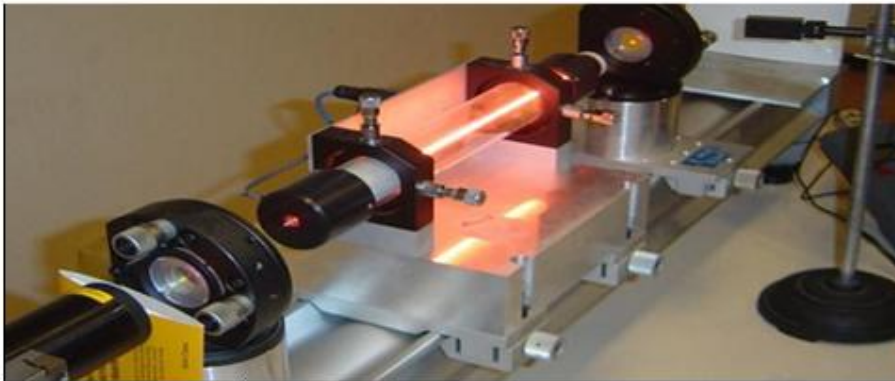
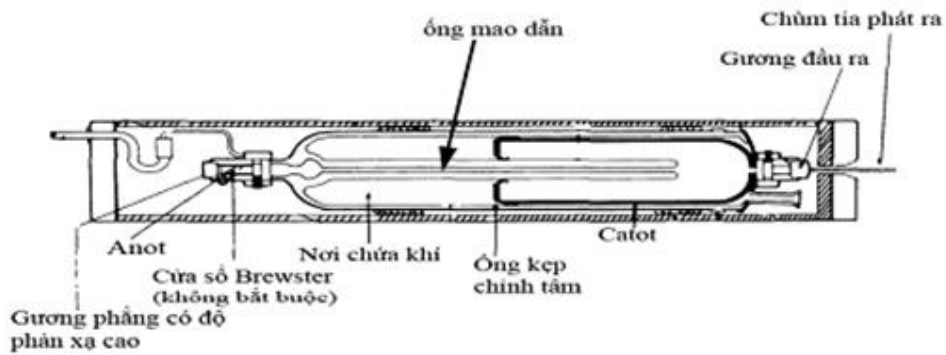
G ã ng ã ã ra cho truy ã n qua m t ph ã n b c x ã ã ã tích tr ã trong bu ã ng
c ã ng h ã ng và b c x ã này chính là chùm laser

M t l ã ng kính ã c t ã gi ã hai g ã ng bu c laser ch h o t ã ng m t b c
sóng mong mu ã n

D ã i ã y là hình ã nh trong th c t c a m t s ã lo ã i laser khí



Hình 3: mô t c u t o c a laser khí ion Argon



Hình 4: hình nh laser khí He-Ne

Bảng 1 liệt kê một số laser khí và các bước sóng hoạt động của nó

Laser	Wavelength in Air (nm)	Wavenumber in Air (cm^{-1})	Typical Power (mW)
Ar-ion ^a	351.1–363.8 (UV)	28,481.9–27,487.6	100–400
	454.4 (blue-violet)	22,002.1	120
	457.9 (blue-violet)	21,838.8	350
	465.8 (blue)	21,468.4	200
	472.7 (blue)	21,155.1	300
	476.5 (blue)	20,986.4	750
	488.0 (blue)	20,491.8	1,500
	496.5 (blue-green)	20,141.0	700
	501.7 (green)	19,932.2	400
	514.5 (green)	19,436.3	2,000
	337.4 (UV)	29,638.4	200
	350.7 (UV)	28,514.4	1,200
	356.4 (UV)	28,058.4	600
	Kr-ion ^b	406.7 (violet)	24,588.1
413.1 (violet)		24,207.2	1,800
415.4 (violet)		24,073.2	275
468.0 (blue)		21,367.5	500
476.2 (blue)		20,999.6	400
482.5 (blue)		20,725.4	400
520.8 (green-yellow)		19,201.2	700
530.9 (green-yellow)		18,835.9	1,500
568.2 (yellow)		17,599.4	1,100
647.1 (red)		15,453.6	3,500
676.4 (red)		14,784.2	900
752.5 (near-IR)		13,289.0	1,200
799.3 (near-IR)	12,510.9	300	
He-Ne ^c	632.8 (red)	15,802.8	50
He-Cd ^d	441.6 (blue-violet)	22,644.9	40
	325.0 (UV)	30,769.2	10

Bảng 2: các vạch plasma của laser Argon-Ion không điều chỉnh

Table 2-2 Some Plasma Lines from a Detuned Argon-Ion Laser

Line	Wavelength in Air (Å)	Wavenumber in Air (cm ⁻¹)	Reference
1	4,545.05	22,001.96	a
2	4,579.35	21,837.16	a
3	4,589.93	21,786.82	b
4	4,609.56	21,694.04	a
5	?	?	—
6	4,657.89	21,468.95	a
7	4,726.86	21,155.69	a
8	4,735.93	21,115.18	b
9	4,764.89	20,986.84	b
10	4,806.07	20,807.02	b
11	4,847.90	20,627.49	b
12	4,879.86	20,492.39	c
13	4,889.03	20,453.96	c
14	4,904.75	20,388.40	c
15	4,933.21	20,270.78	c
16	4,965.07	20,140.70	c
17	4,972.16	20,111.98	c
18	5,009.33	19,962.75	c
19	5,017.16	19,931.59	c
20	5,062.04	19,754.88	c
21	5,141.79	19,448.48	c
22	5,145.32	19,435.14	c

Bảng 3: các vạch plasma của laser Krypton-ion

Table 2-3 Some Plasma Lines from a Krypton-Ion Laser^a

Wavelength in Air (nm)	Relative Intensity	Wavelength in Air (nm)	Relative Intensity
522.95	600	587.09	750
530.87	2,300	599.22	1,000
533.24	2,000	624.02	700
544.63	900	657.01	1,000
546.82	1,100	721.31	600
552.29	1,050	728.98	900
556.86	1,000	740.70	800
557.03	550	752.45	600
563.50	1,400	758.74	550
567.28	570	760.15	600
568.19	3,500	784.07	520
569.03	2,000	785.48	500
575.30	1,000	799.32	700
577.14	1,700	805.95	600

Bảng 4: các vạch plasma của He-Ne

Table 2-4 Principal Plasma Lines from a He-Ne Laser^a

Wavelength in Air (nm)	Relative Intensity	Wavelength in Air (nm)	Relative Intensity
638.299	53	706.519	31
640.108	>100	717.394	4
640.975	31	724.517	5
644.472	30	728.135	11
650.653	50	748.887	0.5
659.895	41	753.577	0.4
667.815	91	754.405	0.3
667.828		777.730	5
671.704	36	794.318	0.1
692.947	19	813.641	0.2

2.2.2 Laser màu

Laser màu có dùng môi trường phóng xạ kích thích Ramann. Về cơ bản, có ba loại laser màu:

- Laser có bơm bằng laser khí liên tục (CW)
- laser có bơm bằng laser xung.
- laser có bơm bằng đèn flash.

Hình 5 trình bày các sóng của laser màu Spectra-physics, model 375 có bơm bằng các laser khí Ar và laser khí Kr

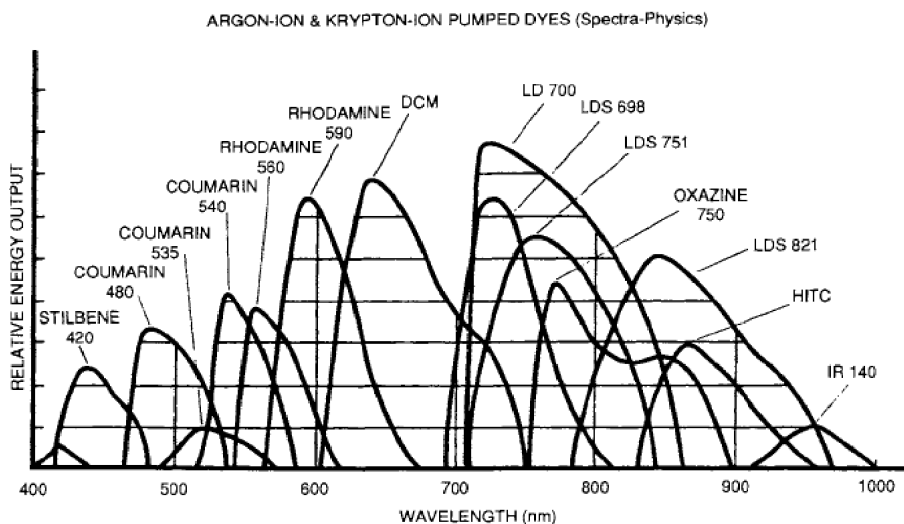


Figure 2-3 Output powers and wavelengths obtainable from a Spectra Physics Model 375 dye laser pumped with Ar-ion and Kr-ion lasers. (Reproduced with permission.)

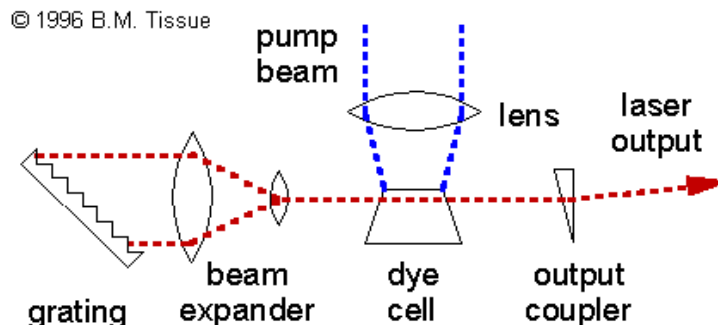
Hình 5: Các sóng của các loại laser màu

Chất màu là các hợp chất hữu cơ phức tạp gồm nhiều liên kết có nhánh, cấu trúc hóa học của chúng có trung bình ít nhất hai vòng benzen, vòng

pyridinem, vòng azine... các dung môi thông thường là nước, ethanol, toluene, glycerine...

Vì cách nhận hợp lý chất màu, dung môi siêu chất nhuộm laser phát ra, cho nên nay có khoảng 200 chất màu khác nhau được sử dụng làm hoạt chất laser màu, Dải bước sóng của nhuộm chất màu này trong miền 300-1300nm

Có thể làm hợp phần phức laser nhuộm thì có thể tính chất nhuộm laser phát xạ thì nhuộm vào buồng cộng hưởng các yếu tố của nhuộm: laser sáng, giao thoa kính song phẳng, kính tán sắc, cách tử nhiễu xạ...



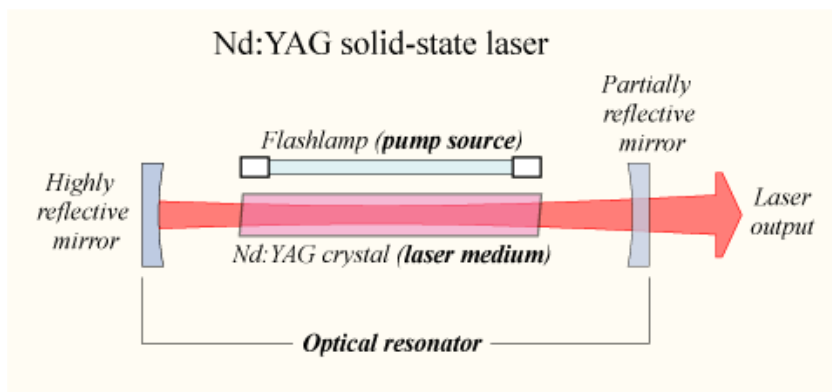
Hình 7: trình bày sơ đồ laser màu có bước sóng siêu chất nhuộm laser

2.2.3 Các loại laser khác

Trong phổ FT-Raman, laser Nd:YAG với bước sóng 1.064 nm (CW) được sử dụng làm nguồn kích thích. Laser Nd-YAG là laser rắn, làm việc ở dạng sóng liên tục. Hoạt chất được sử dụng là Yttrium Aluminium Garnet ($YAG_Y_3Al_5O_{12}$) có pha tạp thêm 2-5% Neodym (Nd)

Đây là loại laser cho ra bức xạ, độ bền nhiệt và chịu nhiệt tốt, bền chắc cao thì giá thành rẻ và cao. Có thể phát liên tục tới 100W hoặc phát xung với tần số 1000-10000Hz

Hình bên dưới là sơ đồ cấu tạo laser Nd:YAG được kích thích bằng đèn flash



Hình 8: sơ đồ cấu tạo laser Nd:YAG

Trong chu kỳ xung, các hạt nhân hai (532 nm), ba (355 nm), bốn (266nm) được sử dụng cho phổ Raman cộng hưởng trong vùng tử ngoại và phổ Raman phân giải theo thời gian.

Bằng việc kết hợp các hạt nhân này với các laser màu có thể bao phủ hầu hết toàn bộ vùng phổ từ 185 - 880 nm không còn một khoảng trống nào.

Bảng 5: liệt kê một số cấu trúc của laser Nd-YAG và cácامت vai trò của laser khác

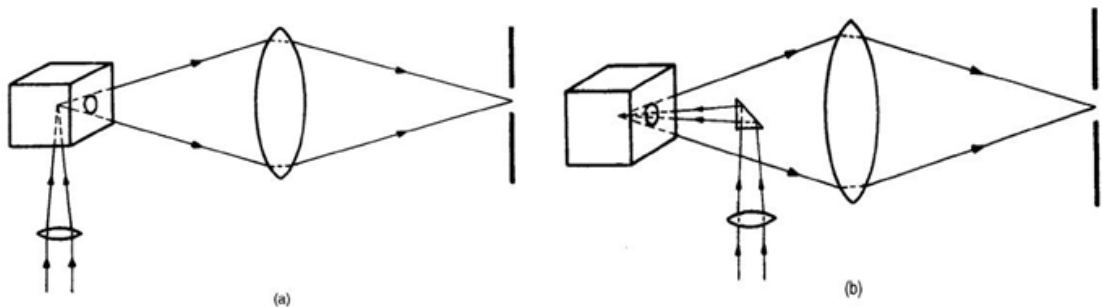
Table 2-5 Other Laser Lines

Laser	Wavelength	Type and Typical Power
Solid State Laser		
Ruby	694.3 nm	Pulsed, up to 100 MW
Nd:YAG ^a	1,064 nm (near IR)	CW/pulsed, up to 100 MW
Diode	3,500–380 cm ⁻¹ (IR)	CW/pulsed, up to 25 W
Gas Laser		
Nitrogen	337.1 nm (UV)	Pulsed, 100–1,000 kW
Carbon dioxide	9–11 μm (IR)	CW/pulsed, up to 10 MW
Excimer (XeCl) ^a	308 nm (UV)	Pulsed, up to 40 MW

2.3 Kích thích mẫu

Do tán xạ Raman rất yếu nên chùm laser phải chính xác vào mẫu vật và bề mặt tán xạ phải thu nhận một cách hiệu quả nhất. Vì chính chùm laser vào mẫu vật có thể thể hiện một cách đáng kể năng lượng của chùm laser rất nhỏ (cỡ 1mm)

Số kích thích và thu nhận bề mặt tán xạ từ mẫu vật có thể thể hiện theo một vài cấu hình quang học khác nhau, chẳng hạn như cấu hình bố trí cho tán xạ với góc 90° và với góc 180°



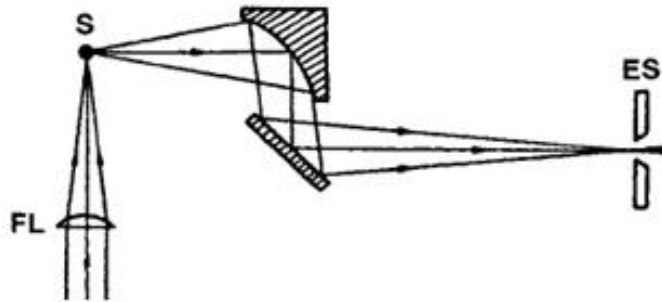
Hình 9: cấu hình tán xạ 90° và 180°

Cấu hình tán xạ ngược (180°) có sẵn trong phổ biến nhất vì các ưu điểm sau

- Tránh chính xác hình phạt các mẫu dung dịch màu.
- Có thể đo tán xạ Raman và hấp thụ trong vùng UV – khi không thể cách nắng thì.
- Có thể thu được phổ Raman nguyên tử của các tinh thể mà chỉ cần một mẫu đặt trên tinh thể cho mẫu hình.
- Có thể thu được phổ nhiệt độ phụ thuộc vào nhiệt độ.

Tuy nhiên tán xạ ngược có nhược điểm là, chẳng hạn như tín hiệu do tán xạ Raman do bản thân thí nghiệm có thể bị nhiễu hoặc bị che khuất.

Hình 10 mô tả một cấu hình quang học không sử dụng thấu kính. Nó sử dụng thấu kính hội tụ khi tia phản xạ trong vùng tia ngoài



Hình 10: hệ quang học dùng thấu kính hội tụ và gương cầu lõm thu được tia hội tụ
(FL: thấu kính hội tụ; S: tiêu điểm; ES: khe hở vào máy nhiễu xạ)

Hệ thống quang học dùng thấu kính hội tụ và gương cầu lõm tán xạ bao gồm một thấu kính tiêu cự: một thấu kính dùng thấu kính và một thấu kính dùng thấu kính hội tụ. Khi chiếu ánh sáng chiếu tới trục chính F

$$F = \frac{f}{D} \quad (1)$$

Trong đó f: là tiêu cự của thấu kính

D: là đường kính của thấu kính.

F càng nhỏ thì khi chiếu tới càng lớn.

Giá trị của F phụ thuộc vào vị trí của trục chính thu nhận các tia ánh sáng nhiễu xạ và tia phản xạ chiếu tới trục chính.

Trong quang phổ Raman hiện nay chùm laser chiếu vào một cách chính xác để tán xạ tia phản xạ của chúng vì có 3 chiều chiếu tới khi nhiễu xạ của chúng. Chúng ta vẫn chưa biết vị trí của quan sát tín hiệu Raman chính xác là vị trí nào (tín hiệu nhiễu xạ)

2.4 Máy nhiễu xạ

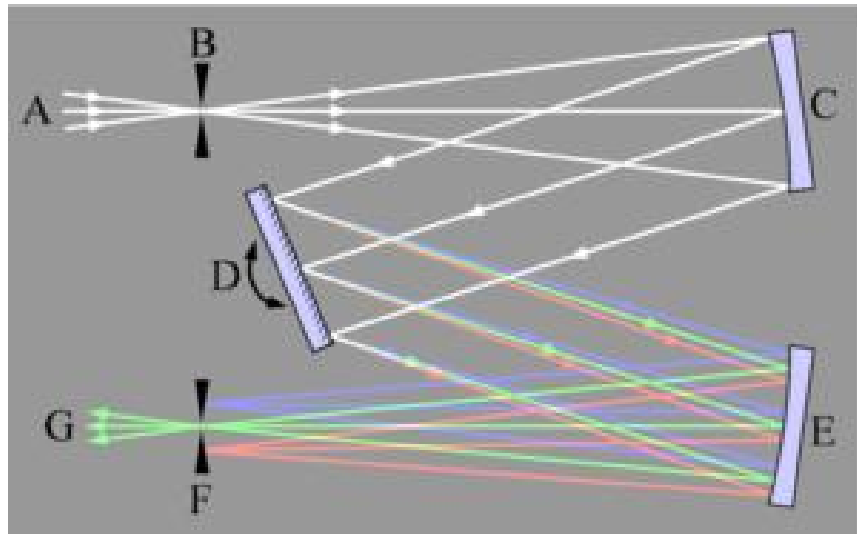
* Máy nhiễu xạ nhiễu xạ

Đây là sơ đồ nguyên lý của máy nhiễu xạ nhiễu xạ.

Vị trí D là cách tia, C, E là các góc nhiễu xạ

Bức xạ sau khi đi qua khe vào B (input) sẽ nhiễu xạ ở cách tia D, chùm bức xạ sẽ tách ra các thành phần nhiễu xạ. Các ánh sáng nhiễu xạ sẽ chiếu tới khe hở E và đi ra ngoài qua khe hở ra F(output)

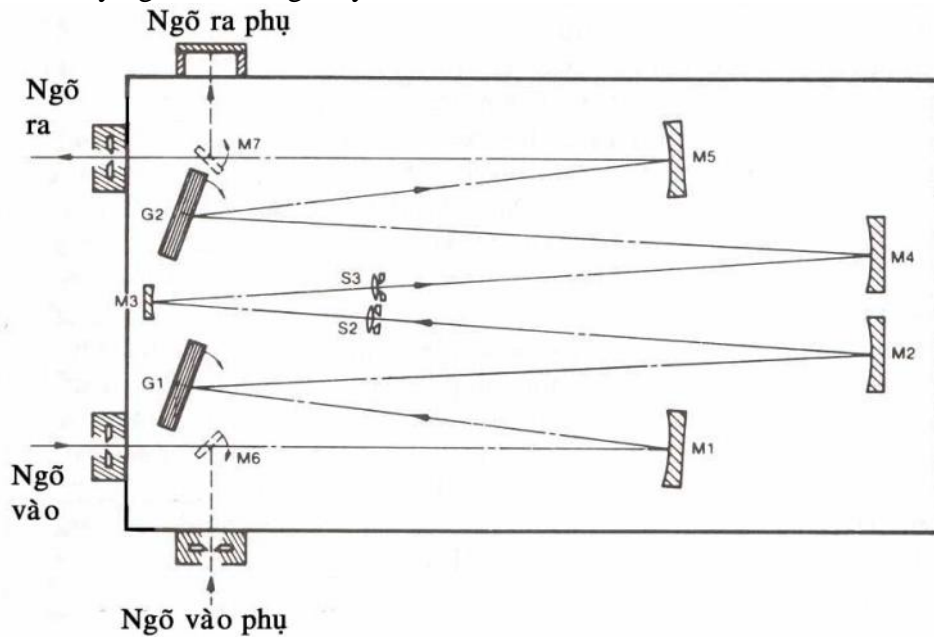
Thông thường người ta kết hợp một bộ làm quay cách tia, vì chiếu tới chính góc quay của cách tia cho ta thu được các sóng nhiễu xạ theo ý muốn



Trong máy n s c n khó có thể loại trừ ánh sáng không bức xạ mà tán xạ trên bề mặt cách t

***Máy n s c ôi**

Ánh sáng tán xạ Raman thường yêu cầu bố trí ánh sáng nhiễu xạ để ghi lại quy trình này nên người ta dùng máy n s c ôi như hình 12



Hình 12: sơ đồ máy n s c ôi hi u Spex, model 1403/4

Trong hệ thống n s c ôi người ta ghép nối tiếp hai hệ thống n s c lại với nhau, phần lớn của máy n s c thường là tán xạ trên bề mặt của máy n s c thứ hai. Việc ghép nối tiếp giúp tăng quang trình, vì tán xạ trên 2 cách thức tăng phân giải.

Về lý thuyết nếu loại trừ các quang sai, hệ thống kép cho tán xạ kép hai lần liên tiếp. Nhưng trong thực tế cách bố trí thích hợp ta có thể hạn chế ánh sáng nhiễu xạ.

$$R = \frac{\lambda}{d\lambda}$$

hay

$$R = m.k.L$$

Như vậy năng suất phân giải của cách tít l thu n v i

- k: hằng số cách tít (s v ch trên m t n v chi u dài, hay s v ch kh c trên 1mm)
- m: số bậc của cách tít, bậc càng cao thì phân giải càng cao
- L: chi u dài của cách tít

Do các bậc càng cao thì càng nhỏ (ph b c 1- vân nhiễu xạ bậc 1 thì t p trung 70% năng lượng) nên thông thường người ta dùng bậc 1, hoặc bậc 2

phân giải cao thì phải sử dụng cách tít có chi u dài L lớn và hằng số cách tít lớn như ví dụ chi u dài L chỉ 15cm (dài nhất là 15cm)

Như vậy để phân giải thì phải tăng hằng số k (t c là tăng s v ch trên 1mm)

Số mắt kính hiệu dụng phân giải có thể bù lại bằng cách tăng kính.

Ví dụ: sử dụng cách tít v i 1800 khe/mm, máy quang phổ Spex (1403) có thể bao vùng phổ t 31000cm⁻¹ n 11000cm⁻¹. Tuy nhiên nếu dùng cách tít có mật độ khe cao hơn (2400 và 3600 khe/mm) thì quang phổ này sẽ bị mờ

+ ảnh hưởng của kính và tốc độ cách tít

Kính và tốc độ cách tít trong máy quang phổ (khu vực cách giải các dải ly d li u) là rất quan trọng thu được phổ phân giải cao.

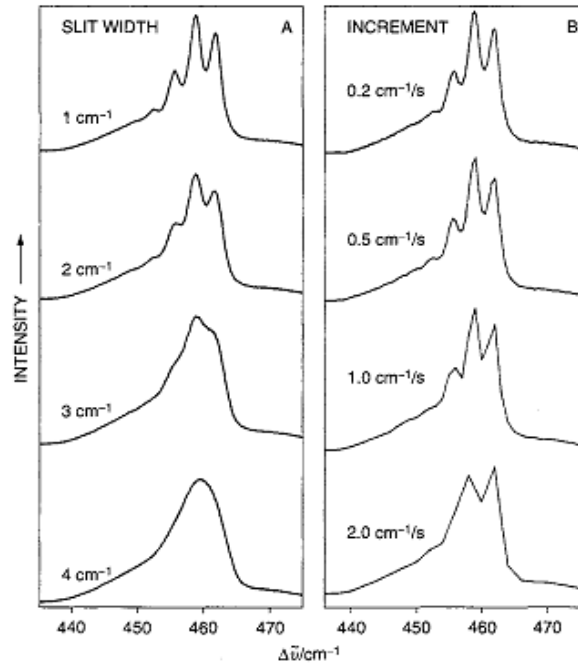
Số ảnh hưởng của thay đổi kính (SW) có minh họa như hình d i 14a). Đó là phổ quét các dải qua (bandpass BP) 1,2,3 và 4cm⁻¹

Do công suất hiệu dụng thu n v i $P_0 \times SW^2$

(Trong đó P₀ - công suất laser và SW - kính)

Nên khi tăng kính SW thì công suất, vì vậy công suất hiệu dụng sẽ giảm cho thích hợp bằng cách giảm công suất laser P₀

Số ảnh hưởng của tốc độ cách tít minh họa trong hình 14b). Tốc độ quét quá nhanh sẽ làm biến dạng phổ. Một cách ngắn gọn khi mà chi u này là ghi phổ quét thì phải tăng quang học cách ly phổ và xem xét sự thay đổi ảnh hưởng các dải phổ



Hình 14: Phổ Raman của CCl_4 (bước sóng kích thích 488 nm) các điều kiện khác nhau bằng máy phân tích phổ Spex 1403 với cách quét 1800 khe/mm và nhân quang Hamamatsu R 928

- A) ảnh hưởng của Bandpass (với khoảng cách giữa các kênh ly độ $0,2 \text{ cm}^{-1}$)
- b) ảnh hưởng của khoảng cách giữa các kênh ly độ (với BP là 1 cm^{-1})

Ngoài ra khi chọn các bán kính của bộ phận ghi bước sóng cũng là một vấn đề khó khăn khi ghi phổ. Vấn đề này cũng là nên ghi nhiệt độ máy phân tích không ghi khi ghi phổ. Vì vị trí đỉnh phổ có thể thay đổi theo nhiệt độ $\approx 3 \text{ cm}^{-1}$

Tài liệu tham khảo

1. *Quang phổ Raman*, Huỳnh Thành Kiệt, NXB HQG TP HCM, 2004
2. *Introductory Raman Spectroscopy*, J.R.Ferraro, Kazuo Nakamoto, Academic Press
3. *Quang phổ hồng ngoại*, Nguyễn Thị Bình, NXB GD, 2006
4. *Quang phổ phân tử và ứng dụng*, Đặng Ái Phương, NXB HQG TP HCM, 2002
5. *Quang học*, Nguyễn Trần Trác, Diệp Ngọc Anh, NXB HQG TP HCM, 2005.
6. *Modern Raman Spectroscopy*, Ewen Smith, Geoffery Dent, Wiley